

Estimation of Hydraulic Parameters of Confined Aquifers Using Genetic Algorithm Optimization Technique

A. Asghari Moghaddam¹, V. Norani²
and M. Kord³

Abstract

Sustainable development and optimized exploitation of the groundwater resources depend on accurate estimation of aquifer hydraulic parameters. Different methods exist for estimation of hydraulic parameters of aquifers. One of the classic methods for estimating these parameters is analyzing the pumping test data by graphical methods. Nowadays, probabilistic optimization methods, i.e. simulated annealing and genetic algorithm (GA), based on evolution rules, are took into attentions due to their high abilities. In this article, the efficiency of the GA is assessed in estimating confined aquifer parameters. For this purpose, hydraulic parameters of four confined aquifers are calculated by using GA and they are compared with results of graphical methods. The results indicate that intelligent GA technique is efficient, reliable and powerful method for estimation of confined aquifers hydraulic parameters.

Keywords: Hydraulic parameters, Pumping test, Optimization, Genetic algorithm, Graphical method.

تخمین پارامترهای هیدرولیکی سفره‌های تحت فشار
بوسیله تکنیک بهینه سازی الگوریتم ژنتیک

اصغر اصغری مقدم^۱، وحید نورانی^۲
و مهدی کرد^۳

چکیده

توسعه پایدار و بهره برداری بهینه از منابع آب زیرزمینی بستگی به صحت تعیین پارامترهای هیدرولیکی آبخوانها دارد. روش‌های متفاوتی برای تعیین پارامترهای هیدرولیکی آبخوان وجود دارد. یکی از روش‌های کلاسیک جهت تخمین این پارامترها آنالیز داده‌های آزمایش پمپاژ با روش‌های گرافیکی است. امروزه روش‌های بهینه‌سازی احتمالاتی از قبیل شبیه سازی آنیله، الگوریتم ژنتیک (GA) و... که برایه قوانین تکامل بیولوژیکی استوار هستند، بواسطه قابلیتهای فراوان با اقبال مجتمع تحقیقاتی روپرورد و در این مقاله کارایی روش GA در تخمین پارامترهای هیدرولیکی سفره‌های تحت فشار از داده‌های آزمایش پمپاژ مورد ارزیابی قرار گرفته است. بدین منظور با استفاده از GA پارامترهای چهار سفره تحت فشار برآورد و با نتایج حاصل از روش‌های گرافیکی مقایسه گردیده است. مقایسه نتایج حاصله نشان می‌دهند که تکنیک هوشمند GA روشنی کار، قابل اعتماد و قوی جهت تخمین پارامترهای هیدرولیکی سفره تحت فشار می‌باشد.

کلمات کلیدی: پارامترهای هیدرولیکی، آزمایش پمپاژ، بهینه سازی، الگوریتم ژنتیک، روش گرافیکی.

1- Associate professor, geology department, University of Tabriz
2- Assistant professor, water engineering department, University of Tabriz
3- MSc. student, geology department, University of Tabriz

۱- دانشیار گروه زمین شناسی دانشگاه تبریز.
۲- استادیار گروه مهندسی عمران آب دانشگاه تبریز.
۳- دانشجوی کارشناسی ارشد هیدرودئنولوژی دانشگاه تبریز.

۱- مقدمه

Zheng and Wang (1996) از ترکیب Tabu search و

Annealing برای تعیین ساختار پارامترهای سفره استفاده کردند.

مسایل مدیریت آب زیرزمینی در طبیعت غیر خطی و غیر محاسب^۸ هستند (Sun, 1994). از طرفی GA یک روش متعارف و خوب برای بهینه سازی معادلات شدیداً غیر خطی و پیچیده (دارای بی نهایت نقاط مینیمم و ماکزیمم) می باشد (Davis, 1991). لذا در دو دهه اخیر محققین متعددی از GA برای حل مسائل مدیریتی منابع آب سطحی و زیرزمینی استفاده کرده اند که بیشتر این تحقیقات نیز در خصوص آبهای سطحی بوده است.

از تحقیقات انجام شده در زمینه کاربرد الگوریتم ژنتیک در آب زیرزمینی می توان موارد زیر را ذکر کرد :

Tai Kuoa et al. (2006) ANN و GA از ترکیب Prasad and Rastogi (2001) با مدل اجزای محدود شبیه سازی جریان را برای تخمین هدایت هیدرولیکی (K)، قابلیت انتقال (T) و تغذیه سفره بکار بردن. Cheng et al. (2000) از GA برای بدست آوردن مقدار پمپاژ بهینه به شرط عدم نفوذ آب شور به چاه پمپاژ در سفره های ساحلی استفاده کردند.

Gentry et al. (2001) ترکیبی از GA و تکنیک مدلسازی عددی برای تعیین توزیع مکانی و جریان آب زیرزمینی در سفره های نشتی را ارائه کردند. Gentry et al. (2003) کارایی GA را در بررسی انتقال کارایی نیمه نفوذپذیر مورد بررسی قرار دادند. Giacobbi et al. (2002) از GA برای تخمین پارامترهای مدل انتقال آبدگی آب زیرزمینی استفاده کردند.

برتری ویژه GA غیر حساس بودن به حدسهای اولیه پارامترها برای بهینه سازی است (Samuel, 2002) . لذا GA به درستی می تواند نقاط مینیمم کلی^۹ و یا نزدیک اپتیمم را برای مسایل بهینه سازی غیر خطی به دست آورد. در این مقاله کارایی GA به وسیله تخمین پارامترهای چهار آبخوان تحت فشار از طریق داده های آزمایش پمپاژ زمان - افت محک زده شده است.

آب زیرزمینی منبعی با ارزش جهت تامین آب برای مصارف شرب، کشاورزی و صنعتی است. با افزایش جمعیت و تقاضای روز افزون آب، مدیریت صحیح منابع آب یک نیاز فوری و حیاتی محسوب می شود. مدیریت صحیح منابع آب زیرزمینی معمولاً براساس داده های مدل های مختلف اعمال می شود که صحت و دقت این مدل ها نیاز به برآورده دقيق از پارامترهای هیدرولیکی سفره دارد. روشهای متفاوتی برای تعیین پارامترهای هیدرولیکی سفره ها وجود دارد، یکی از روشهای استاندارد، جهت تعیین آنها استفاده از داده های آزمایشات پمپاژ می باشد. داده های آزمایش پمپاژ زمان - افت بوسیله مدل های تحلیلی غیرخطی بر اساس نوع سفره و با استفاده از روشهای گرافیکی که بصورت روش کلاسیک در نظر گرفته شده اند آنالیز می شوند (Theis, 1935; Neuman, 1972). در روش گرافیکی انطباق داده ها به منحنی تیپ اغلب تقریبی بوده و انطباق کامل به دلیل اختلاف زیاد بین فرضیات در نظر گرفته شده در تئوری و شرایط واقعی میسر نیست. بعلاوه اینکه روشهای گرافیکی خیلی پر زحمت، زمان بر و سلیقه ای هستند.

مسئله تخمین پارامترهای سفره با کمک مدل عددی که با استفاده از اطلاعات اولیه و مشاهداتی عمل می کند، اغلب بصورت مسئله معکوس^۲ انجام می گیرد. Dagan and Rubin (1977) Cooley (1977) و Carrera and Neuman (1986a), Yeh (1986), (1988) Abbaspour et al. (1997) از جمله افرادی هستند که در این زمینه فعالیت داشته اند.

یکی از الگوریتم هایی که در تخمین پارامترهای سفره بکار برده شده است^۳ ANN می باشد. از مهمترین کارهای انجام گرفته بوسیله این الگوریتم می توان به روش ارایه شده توسط Samani et al. (2007) Lin and Cheng (2006) اشاره نمود. Garcia and Aziz and Wong (1992), Balkhair (2002) Shigidi (2006) توانستند با استفاده از روش^۴ PCA الگوریتم آنها را ارتقا دهند. از افراد دیگری که در این زمینه کار کرده اند می توان از

Ayvaz (2007) et al. (2007) از ترکیب الگوریتم های^۵ FCM و HS^۶ و GA و KFCM^۷ برای تعیین پارامترهای سفره و منطقه بندی مربوط به آنها با استفاده از سطوح پیزومتری ارائه نمودند.

۲- بحث و بررسی

۲-۱- مدل ریاضی آنالیز داده‌های آزمایش پمپاژ

برای محاسبه پارامترهای هیدرولیکی سفره‌های تحت فشار مدل‌های ریاضی مختلفی وجود دارد. معروفترین آنها معادله Theis می‌باشد که بصورت زیر بیان می‌شود (Freeze and Cherry, 1979) :

$$s(r,t) = \frac{Q}{4\pi T} \int_u^{\infty} \frac{e^{-u}}{u} du \quad (1)$$

$$u = \frac{r^2 \cdot S}{4Tt} \quad (2)$$

قسمت انتگرالی فرمول(۱) به عنوان تابع چاه یا $W(u)$ شناخته می‌شود. بنابراین فرمول بالا را می‌توان بصورت زیر نوشت:

$$s(r,t) = \frac{Q}{4\pi T} W(u) \quad (3)$$

$s(r,t)$ مقدار افت اندازه گیری شده در پیزومتری در فاصله r از چاه پمپاژ و زمان t مقدار برداشت ثابت از چاه پمپاژ، T مقدار قابلیت انتقال سفره، $W(u)$ تابع چاه، S ضریب ذخیره (بدون بعد) و t زمان سپری شده از شروع پمپاژ می‌باشد.

مقدار $W(u)$ به ازای u های مختلف با استفاده از بسط سری تیلور (برای $1 < u \leq 10$) و کوادراتور گوس_لگر^{۱۱} (برای $1 < u < 10$) محاسبه می‌شود (Tseng and Lee, 1998).

۲-۲- الگوریتم ژنتیک (GA)

GA شاخه‌ای از هوش مصنوعی است که بر اساس تئوری تکامل مطرح شده است. نظریه محاسبات تکاملی توسط Rechenberg در سال ۱۹۶۰ معرفی شد و این نظریه توسط محققان دیگر توسعه یافت تا در سال ۱۹۷۵ منجر به اختصار الگوریتم‌های ژنتیک توسط Holland و دانشجویانش گردید (Goldberg, 1989). روش‌های بهینه سازی احتمالاتی مانند جستجوی تصادفی ساده، الگوریتم شبیه سازی آنلیله و الگوریتم‌های تکاملی تقریباً روی همه نوع فضای طراحی و بدون هیچ محدودیتی می‌توانند روی متغیرهای آن کار کنند. روش‌های بهینه یابی احتمالاتی که برایهای قوانین تکامل بیولوژیکی استوار هستند بواسطه قابلیتهای فراوان با اقبال مجتمع تحقیقاتی روبرو شده‌اند. درین روش‌های این گروه، GA بعنوان یک ابزار

قدرتمند جستجو بیشتر از سایر روشها مورد توجه قرار گرفته است و کاربردهای متنوعی در زمینه‌های مختلف پیدا کرده است.

۳-۳- نحوه عملکرد GA

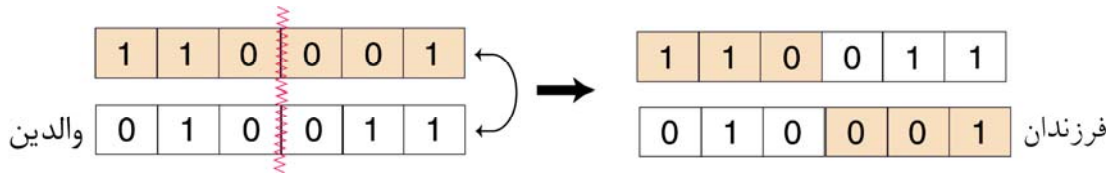
الگوریتم‌های ژنتیک با مجموعه‌های اولیه از راه حل‌های تصادفی که جمعیت نامیده می‌شود کار خود را آغاز می‌کنند. هر فرد در این جمعیت، کروموزوم نامیده می‌شود که نماینده راه حلی برای مسأله مورد نظر است. معمولاً یک کروموزوم رشته‌ای از بیت‌های باینری (۰، ۱) است. هر کد یا عدد در این رشته یک ژن نامیده می‌شود. برای ایجاد کروموزوم‌ها باید اعداد را بصورت باینری کدگذاری^{۱۲} کنیم.

در هر نسل^{۱۳} توسط پردازش جمعیت و بر اساس میزان برازش^{۱۴} آنها، مجموعه‌ای از تخمین پارامترها در دامنه مسأله بدهست می‌آید. این جمعیت به کمک عملگرهایی که شبیه سازی شده عملگرهای ژنتیکی هستند، طی نسل‌های متعدد تکامل می‌یابد. هدف از این کار، دقیقاً همانند سازش پذیری طبیعی ژنتیکی، ایجاد جمعیت‌ها یا نسلهایی از جمعیت قبلی است که نسبت به آنها با محیط تطابق بهتری دارند.

برای این منظور در ابتدا یک مجموعه تصادفی از رشته‌ها (جمعیت اولیه) برای رسیدن به نقطه بهینه مقدار دهی می‌شوند و سپس مقدار تابع هدف که معیاری برای سنجش کارایی و تطبیق رشته است، محاسبه می‌شود. حال اگر معیار رسیدن به حالت بهینه برآورده نشده باشد، تولید نسل جدید آغاز می‌شود. به این صورت که اعضای جمعیت بر طبق میزان برازش انتخاب شده و برای تولید نسل جدید^{۱۵} انتخاب می‌شوند (Mitsuo and Cheng, 1997).

در ادامه، روند ایجاد فرزندان در نسل‌های بعدی از سه قانون کلی تبعیت می‌کند:

الف) فرزندان نخبه^{۱۶}: ژنهایی که دارای بهترین برآندگی باشند برای نسل بعد انتخاب می‌شوند.
ب) فرزندان حاصل از ترکیب^{۱۷}: ترکیب ایجاد یک یا چند کروموزوم از والدین دارای بهترین برآندگی است. شکل خیلی عمومی ترکیب، شامل دو والد است که ۲ فرزند را ایجاد می‌کنند. بدین گونه که یک نقطه بصورت تصادفی روی رشته کروموزومی انتخاب شده، بعد ناحیه‌های چپ یا راست آن نقطه، در رشته کروموزومی جایجا می‌شود (Haupt and Haupt, 2004). در شکل (۱) نمونه‌ای از ترکیب با یک نقطه انتخابی بصورت شماتیک نمایش داده شده است.



شکل ۱- ترکیب یک نقطه ای

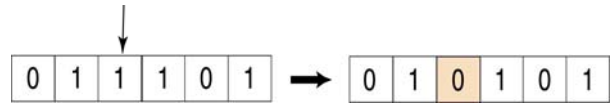
و ... باشد، باعث توقف الگوریتم شود. فلوچارت عملکرد GA را می‌توان مطابق شکل (۳) نشان داد.

۴- تابع آزمون^{۲۰}

برای تعیین اینکه آیا یک الگوریتم بهینه سازی درست کار می‌کند یا خیر، انواع مختلفی از تابع آزمون را می‌توان بکار برد. در مقاله حاضر از تابع سینک^{۲۱} بصورت معادله (۴) بعنوان تابع آزمون استفاده شده است (Haupt and Haupt, 2004). تابع سینک علاوه بر مینیمم‌های محلی دارای یک مینیمم کلی می‌باشد. شکل (۴) تابع سینک و مینیمم‌های محلی و مینیمم کلی را نشان می‌دهد.

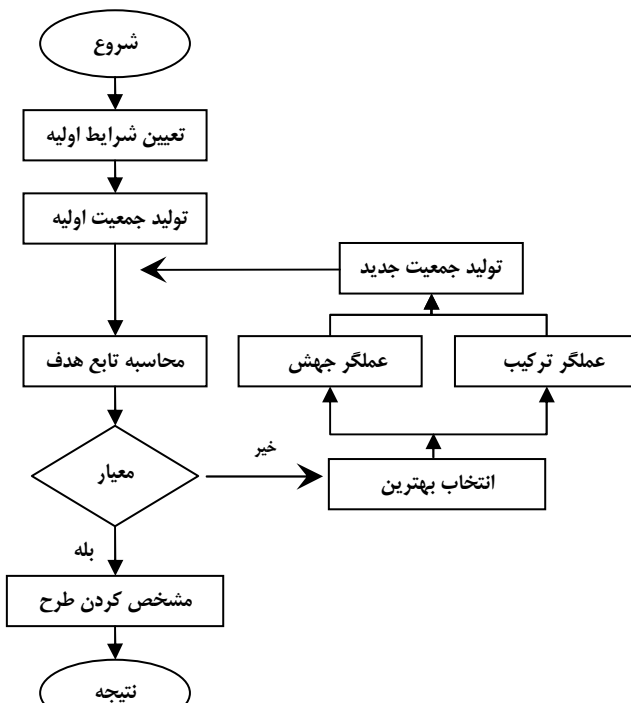
$$f(x,y)=I-\left[\frac{\sin \left(x^2+y^2\right)^{0.5}}{\left(x^2+y^2\right)^{0.5}}\right] \quad -15 \leq x, y \leq 15 \quad (4)$$

ج) فرزندان حاصل از جهش^{۱۸}: جهش یکی از مهمترین فرایندهایی است که اجازه می‌دهد ژنهای جدید در کروموزومها ایجاد شود، بدین صورت که فرزندان را به وسیله ایجاد تغییر در ژنها بصورت تصادفی ایجاد می‌کند. شکل (۲) عمل جهش را نشان می‌دهد.

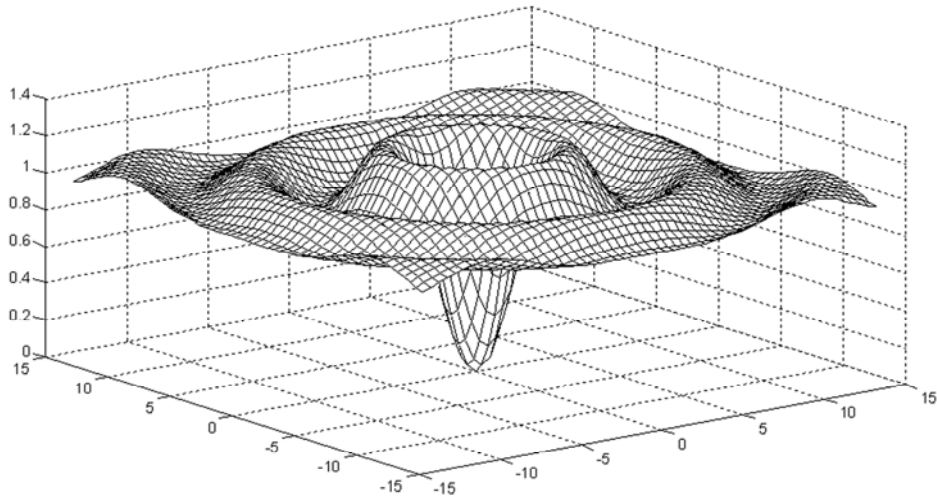


شکل ۲- ایجاد جهش در یک رشته

از نسل دوم به بعد پس از ایجاد فرزندان با نسبت‌های تعریف شده و معین، با استفاده از الگوریتم‌های انتخاب^{۱۹} فرزندان نسل جدید گزینش و با قرار دادن این فرزندان در تابع هدف و امتیاز دهی به آنها الگوریتم تکرار شده تا وقتی که معیارهای پایان الگوریتم که می‌تواند تعداد نسل، زمان، عدم بهبود در میزان تابع هدف در چند نسل متولی

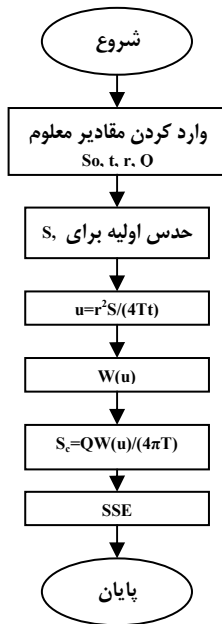


شکل ۳- فلوچارت عمومی GA



شکل ۴- تابع سینک

فلوچارت محاسبه تابع هدف در شکل (۵) نمایش داده شده است.



شکل (۵). فلوچارت محاسبه تابع هدف

جدول (۱) مقادیر تئوری و محاسباتی نقطه مینیمم GA، برای نقطه مینیمم کلی را نمایش می‌دهد.

جدول (۱). مقادیر تئوری و محاسباتی نقطه مینیمم کلی تابع سینک

	X	y	f (x,y)
مقدار تئوری	.0/00	.0/00	.0/00
مقدار محاسباتی	$10^{-11} \times -3/59$	$10^{-8} \times 4/315$	$10^{-5} \times 3/33$

۲-۵- فرمول بندی تابع هدف

همانطور که در قسمت قبلی شرح داده شد تابع هدف، تابعی است که قصد کمینه کردن آن را داریم. اگر افت مشاهداتی را در پیزومتری به فاصله r از چاه پمپاژ و زمان t نسبت به شروع پمپاژ با s_o نشان دهیم و s_c افت محاسباتی با استفاده از مدل ریاضی Theis در همان فاصله و زمان باشد، تابع خطا را می‌توانیم بصورت زیر نمایش دهیم:

۲-۶- اعمال قیود

الگوریتم‌های ژنتیک، روش‌های مستقیمی هستند که تنها با مسائل بدون قید سر و کار دارند. رایج‌ترین روش برای تبدیل مسئله مقید به یک مسئله بدون قید استفاده از روش تابع جریمه^{۳۴} می‌باشد. روابط زیر نحوه استفاده از تابع جریمه را نشان می‌دهند:

$$f_P(x) = f(x) + \alpha P(x) \quad (8)$$

$$g(x)^L \leq g(x) \leq g(x)^U \quad (9)$$

$$E = s_o - s_c \quad (5)$$

حال برای افتهای مختلف در فاصله‌های زمانی مختلف می‌توان مجموع خطای مربعات^{۳۳} (SSE) را محاسبه کرد:

$$SSE = \sum_{k=1}^n (s_{ok} - s_{ck})^2 \quad (6)$$

$$f(x) = SSE \quad (7)$$

که n تعداد افتهای مشاهداتی و $f(x)$ تابع هدف می‌باشد.

۳- تحلیل نتایج

در این تحقیق با استفاده از روش GA پارامترهای هدایت هیدرولیکی و ضریب ذخیره برای چهار سفره تحت فشار، از داده‌های صحرابی آزمایش پمپاژ زمان-افت محاسبه گردید. این داده‌ها مربوط به چهار چاه مشاهده‌ای A۱ (Todd and Mays, 2005) A۲ (Kruseman and De Ridder, 1983) A۳ (Batu, 1998) A۴ (Raghunath, 1987) می‌باشند. داده‌های آزمایش پمپاژ زمان - افت، فاصله چاههای مشاهده‌ای از چاههای پمپاژ و مقادیر دبی پمپاژ ثابت آنها در جدول (۲) آورده شده است.

$$P(x) = \sum_{i=1}^n \left[\left(\frac{|g_i(x)|}{|g_i(x)^a|} - I \right)^+ \right]^2 \quad (10)$$

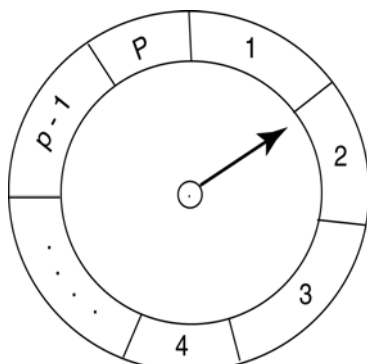
$$\left(\frac{|g_i(x)|}{|g_i(x)^a|} - I \right)^+ = \max \left(\frac{|g_i(x)|}{|g_i(x)^a|} - I, 0 \right) \quad (11)$$

$$\begin{cases} g_i(x)^a = g_i(x)^L & g_i(x) < 0 \\ g_i(x)^a = g_i(x)^U & g_i(x) \geq 0 \end{cases} \quad (12)$$

$f_P(x)$ تابع هدف با اعمال جریمه؛ $f(x)$ تابع هدف؛ α ضریب بزرگنمایی تابع جریمه؛ رابطه قید مسئله؛ $p(x)$ تابع جریمه؛ پارامتر ام؛ $g(x)^U$ مرز بالا و $g(x)^L$ مرز پایین پارامتر می‌باشد (Adeli and Cheng, 1993; Chen and Chen, 1997).

جدول ۲- داده‌های زمان-افت چهار مجموعه مورد نظر

A۴			A۳			A۲			A۱		
$Q = 540 \text{ m}^3/\text{d}$			$Q = 2270 \text{ m}^3/\text{d}$			$Q = 788 \text{ m}^3/\text{d}$			$Q = 2500 \text{ m}^3/\text{d}$		
t (min)	s(m)	r = 75m	t (min)	s(m)	r = 60m	t (min)	s(m)	r = 90m	t (min)	s(m)	r = 60m
۳	۰/۰۲۲	۳۶۰	۰/۷۹۵	۱	۰/۲۰۱	۱/۵	۰/۰۱۵	۱۸۰	۰/۵۶۹	۱	۰/۲۰
۴	۰/۰۳	۵۰۰	۰/۸۳	۲	۰/۳۰۲	۲	۰/۰۲۱	۲۴۸	۰/۵۹۳	۱/۵	۰/۲۷
۴/۳	۰/۰۳۳	۶۱۰	۰/۱۸۶	۳	۰/۳۶۹	۲/۱۶	۰/۰۲۳	۳۰۱	۰/۶۱۴	۲	۰/۳۰
۵/۳	۰/۰۶۲	۷۳۰	۰/۱۸۹	۴	۰/۴۱۵	۲/۶۶	۰/۰۴۴	۳۶۳	۰/۶۳۶	۲/۵	۰/۳۴
۶	۰/۰۷۶	۸۵۰	۰/۹۲	۶	۰/۴۸۵	۳	۰/۰۵۴	۴۲۲	۰/۶۵۷	۳	۰/۳۷
۷	۰/۱۰۵	۱۱۰۰	۰/۹۵	۸	۰/۵۳۴	۳/۵	۰/۰۷۵	۵۴۲	۰/۶۷۹	۴	۰/۴۱
۸	۰/۱۲۶			۱۰	۰/۵۶۷	۴	۰/۰۹۰	۶۰۲	۰/۶۸۸	۵	۰/۴۵
۸/۷	۰/۱۴۶			۱۴	۰/۶۳۵	۴/۲۳	۰/۱۰۴	۶۸۰	۰/۷۰۱	۶	۰/۴۸
۱۱	۰/۱۸۶			۱۸	۰/۶۷	۵/۵	۰/۱۳۳	۷۸۵	۰/۷۱۸	۸	۰/۵۳
۱۲	۰/۲۱۴			۲۴	۰/۷۲	۶	۰/۱۵۳	۸۴۵	۰/۷۱۶	۱۰	۰/۵۷
۱۵	۰/۲۵			۳۰	۰/۷۶	۷/۵	۰/۱۷۸			۱۲	۰/۶۰
۱۸	۰/۲۸۸			۴۰	۰/۸۰۸	۹	۰/۲۰۶			۱۴	۰/۶۳
۲۷	۰/۳۵			۵۰	۰/۸۴۸	۱۳	۰/۲۵۰			۱۸	۰/۶۷
۳۱	۰/۳۸۵			۶۰	۰/۸۷۹	۱۵	۰/۲۷۵			۲۴	۰/۷۲
۳۵	۰/۴۲۷			۸۰	۰/۹۴۷	۱۸	۰/۳۰۵			۳۰	۰/۷۶
۵۰	۰/۴۸۷			۱۰۰	۰/۹۶۵	۲۵	۰/۳۴۸			۴۰	۰/۸۱
۶۰	۰/۵۱			۱۲۰	۱	۳۰	۰/۳۶۴			۵۰	۰/۸۵
۸۰	۰/۵۶۶			۱۵۰	۱/۰۴۲	۴۰	۰/۴۰۴			۶۰	۰/۹۰
۱۰۶	۰/۶۰۲			۱۸۰	۱/۰۷	۵۳	۰/۴۲۹			۸۰	۰/۹۳
۱۲۰	۰/۶۲۲			۲۱۰	۱/۱	۶۰	۰/۴۴۴			۱۰۰	۰/۹۶
۱۵۰	۰/۶۵۴			۲۴۰	۱/۱۱۲	۷۵	۰/۴۶۷			۱۲۰	۰/۱۰۰
۱۸۰	۰/۶۹					۹۰	۰/۴۹۴			۱۵۰	۰/۱۰۴
۲۲۰	۰/۷۱					۱۰۵	۰/۵۰۷			۱۸۰	۰/۱۰۷
۲۴۵	۰/۷۴					۱۲۰	۰/۵۲۸			۲۱۰	۰/۱۱۰
۳۰۰	۰/۷۷۴					۱۵۰	۰/۵۵۰			۲۴۰	۰/۱۱۲



شکل ۷- چرخ رولت

چرخ رولت نمودار دایره‌ای است که محیط این دایره با مقادیر درصد احتمال برآش رشته‌ها نشانه گذاری شده است. مقدار مناسب بودن جمعیت پس از n بار چرخیدن چرخ بدست خواهد آمد، در هر زمان یک مورد از رشته‌ها توسط اشاره گر چرخ رولت انتخاب می‌شود
(Rajasekaran and Vijayalakshmi Pai, 2005)

مقادیر احتمال P_i از تابع احتمال زیر بدست می‌آید:

$$P_i = \frac{F_i}{\sum_{j=1}^n F_j} \quad (14)$$

که n اندازه جمعیت و F_i مقدار برآش رشته i است. نوع ترکیب بکار رفته فرزندانی را تولید خواهد کرد که میانگین حسابی وزنی دو والد هستند. جهش اعمال شده دارای دو مرحله است: در مرحله اول بخشی از کروموزوم انتخاب شده، که هر عضو آن دارای یک احتمال جهش است، این مقدار $1/0.1$ در نظر گرفته شده است. در مرحله دوم الگوریتم هر یک از عضوهای انتخابی را بوسیله یک عدد تصادفی انتخابی از محدوده آن عضو، جایگزین می‌کند.

تعداد نخبه، تعداد کروموزوم‌هایی که در هر جمعیت بعنوان نخبه انتخاب می‌شود را کنترل می‌کند. این کروموزوم‌ها که بر مبنای بهترین عملکرد انتخاب می‌شوند، بصورت کاملاً یکسان از جمعیت والد به جمعیت فرزندان منتقل می‌شود. در اینجا در هر مرحله ۸ عدد از کل ۵۰ کروموزوم‌ها بطور مستقیم به مرحله بعد منتقل می‌شود.

با در نظر گرفتن عدد $1/6$ بعنوان کسر تولید فرزندان ترکیبی، نسبت $4/6$ از ۴۲ کروموزم باقی مانده را فرزندان ترکیبی و مابقی را فرزندان جهش یافته تشکیل خواهند داد. با این حساب تعداد فرزندان ترکیبی $25/2 = 25$ عدد و تعداد فرزندان جهش یافته 17 عدد خواهد بود. جدول (۳) آرایش الگوریتم ژنتیک بکار گرفته شده را نشان می‌دهد:

اجرای موفق GA به گزینه‌های آن مانند اندازه جمعیت 16 ، ترکیب، جهش، تعداد نسل‌ها، نحوه انتخاب، نسبت بین تولید فرزندان و غیره بستگی دارد. بهترین حالت برای هر یک از آنها را می‌توان توسط آزمون و خطاب، با ثابت نگهداشت گزینه‌های دیگر بدست آورد. عنوان مثال برای بدست آوردن کسر تولید فرزندان ترکیبی 17 یعنی بهترین نسبت فرزندان حاصل از ترکیب به دیگر فرزندان، می‌توان الگوریتم را برای نسبت‌های مختلف از 0 تا 1 اجرا کرد و با توجه به مقدار برآش‌ها بهترین نسبت را بدست آورد (شکل ۶).

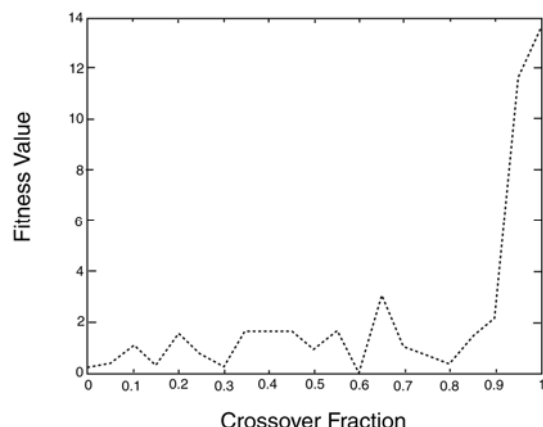
در این مقاله شاخص خاتمه الگوریتم ($GASC$) با استفاده از معادله

(۱۳) تعیین شده است. در اینجا الگوریتم تا زمانی که تغییرات تجمعی مقادیر برآشها بر روی تعداد 50 نسل کمتر از 10^{-4} باشد، اجرا خواهد شد و یا به عبارت دیگر عدم بهود در میزان تابع هدف در طی 50 نسل سبب خاتمه الگوریتم خواهد شد.

(۱۳)

$$GASC = \frac{\sum_{k=1+(n-50)}^n (fitness_{k-1} - fitness_k)}{50} \quad N \geq n \geq 50$$

N حداکثر نسل‌های در نظر گرفته شده و n شماره هریک از نسل‌های تولید شده بعد از پنجاه‌مین نسل می‌باشد. وظیفه گزینش رشته‌ها برای تولید جمعیتی جدید را عملگر انتخاب به عهده دارد. این عملگر به کیفیت کروموزوم که متعلق به یک جمعیت خاص است وابسته است و بیانگر آن است که هر کروموزوم چه تعداد فرزند بوجود آورد. بدین منظور در این مقاله از روش چرخ رولت استفاده گردیده است (شکل ۷).



شکل ۶- برآش نسبت‌های مختلف تولید فرزندان حاصل از ترکیب

جدول ۳- آرایش الگوریتم ژنتیک بکار گرفته شده

شاخص خاتمه الگوریتم	حد بالای S	حد پایین S	تعداد نسلها	کسر تولید فرزندان ترکیبی	ترکیب جهش	تعداد نخبه	تابع انتخاب	اندازه جمعیت
GASC<10 ⁻⁶	۱/۰۰	۰/۰۰	۱۰۰	۰/۶	دو نقطه ای	یکنواخت	چرخ رولت	۵۰

جدول ۴- مقادیر محاسباتی T، S و SSE و R^۲

مجموعه داده	روش بکار گرفته شده	T (m ^۳ /min)	S	SSE (m ^۳)	R ^۲
A _۱	گرافیکی	۰/۷۷۹	۲/۰۳ × 10 ^{-۴}	۰/۰۰۱۰	۰/۹۹۹۹۹۲
	ژنتیک الگوریتم	۰/۷۹۳۱۶	۱/۹۰۰ × 10 ^{-۴}	۷/۱۹۳۰ × 10 ^{-۴}	۰/۹۹۹۹۴۵
A _۲	گرافیکی	۰/۷۳۲	۲/۱۶ × 10 ^{-۴}	۰/۰۲۲۵	۰/۹۹۶۶۰۶
	ژنتیک الگوریتم	۰/۳۴۷۹۸	۲/۰۰۰ × 10 ^{-۴}	۰/۰۱۸۲	۰/۹۹۷۲۴۹
A _۳	گرافیکی	۱/۰۴	۲/۴ × 10 ^{-۴}	۸/۷۲۶۵ × 10 ^{-۴}	۰/۹۹۹۹۲۸
	ژنتیک الگوریتم	۱/۰۳۸۱۳	۲/۵ × 10 ^{-۴}	۱/۷۸۹ × 10 ^{-۴}	۰/۹۹۹۹۸۵
A _۴	گرافیکی	۰/۱۲۹۲	۴/۳۴ × 10 ^{-۴}	۰/۱۴۲۹	۰/۹۸۹۳
	ژنتیک الگوریتم	۰/۱۶۴۲	۳/۰۲۱۷ × 10 ^{-۴}	۰/۰۲۷۲	۰/۹۹۷۰

مجموعه‌ها توسط GA بیشتر بوده است. شکل (۹) روند مینیمم سازی تابع هدف را در طی ۱۰۰ نسل برای مجموعه داده‌ای A_۱، A_۲، A_۳ و A_۴ نشان می‌دهد.

۵- نتیجه گیری

در تهییه مدل ریاضی آبخوانها و مدیریت صحیح آنها بی شک تعیین پارامترهای هیدرولیکی در چندین نقطه از سفره با روش گرافیکی ضروری است. مقایسه پارامترهای بدست آمده از چهار مجموعه داده آزمایش پمپاز زمان- افت توسط GA و روش گرافیکی نشان می‌دهد که تکنیک هوشمند GA یک روش کارآمد اعتماد و قوی جهت تخمین پارامترهای هیدرولیکی سفره‌های تحت فشار می‌باشد.

عملکرد موفق GA به آرایش مختلف گزینه‌های آن بستگی دارد که بهترین آرایش ممکن را می‌توان توسط آزمون و خطاب برای هر یک از گزینه‌ها و با ثابت نگهداشتن گزینه‌های دیگر بدست آورد. از آنجا که محاسبه پارامترها بصورت محاسباتی انجام می‌گیرد بنابراین تطابق بهتری بین نمودار حاصل از GA وداده‌های مشاهداتی دیده می‌شود. حدود استاندارد هر یک از پارامترها را می‌توان بصورت مرزهای مسئله در نظر گرفت و برای ایجاد جمعیت اولیه نیز از آنها استفاده کرد. بدین طریق راه حل‌های ایجاد شده به جواب مسئله نزدیک‌تر بوده و علاوه بر کاهش زمان محاسبه سبب عملکرد صحیح‌تر الگوریتم نیز، خواهد گردید.

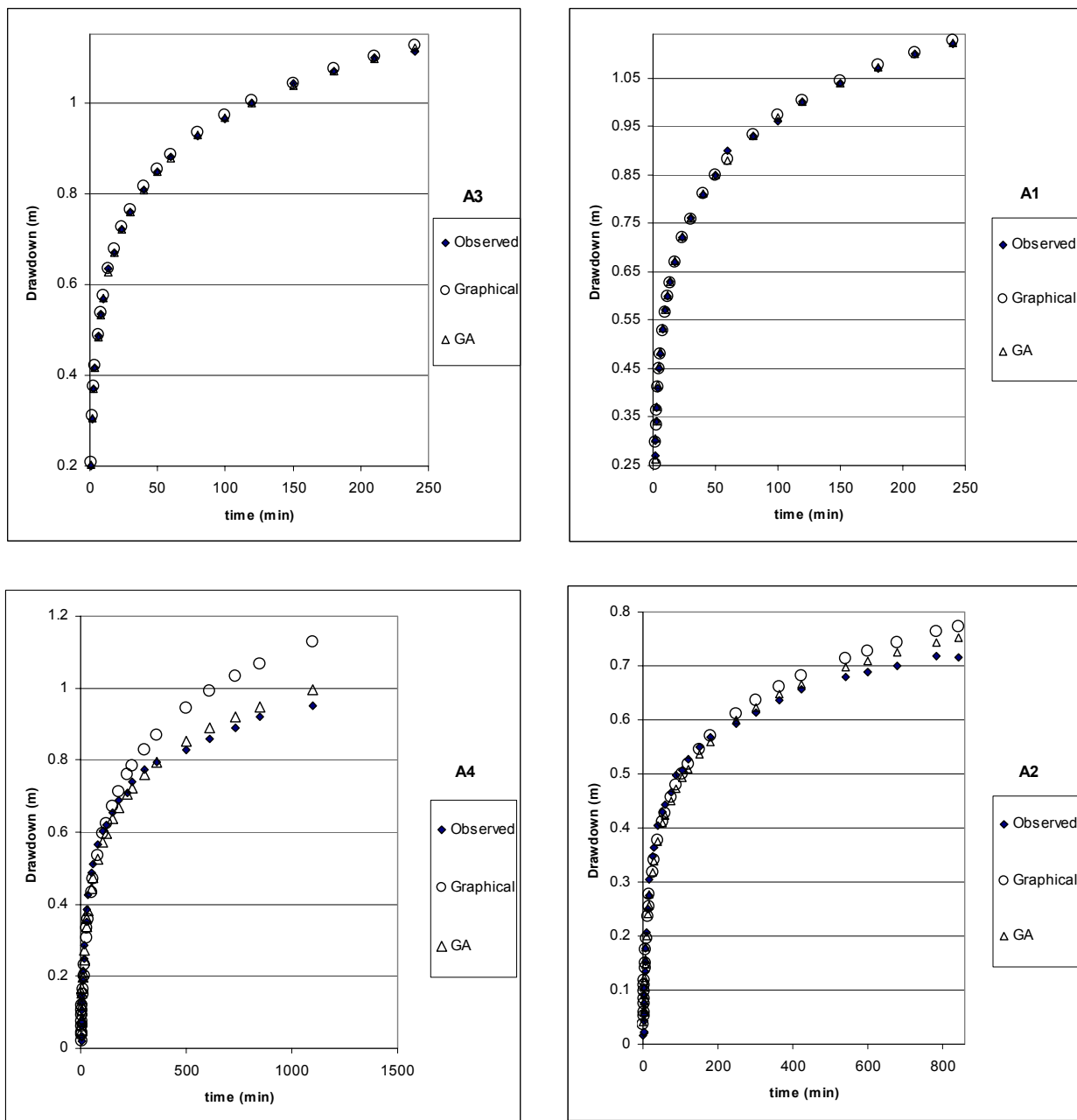
۴- کنترل عملکرد GA

جهت سنجش کارایی تکنیک GA پارامترهای هیدرولیکی سفره‌های تحت فشار از سه مجموعه داده‌ای آزمایش پمپاز زمان - افت توسط نرم افزار معروف Aquifer Test که بر مبنای روش گرافیکی می‌باشد، محاسبه شده است. مقادیر محاسباتی T، S و SSE و R^۲ از هر دو روش در جدول (۴) آورده شده است.

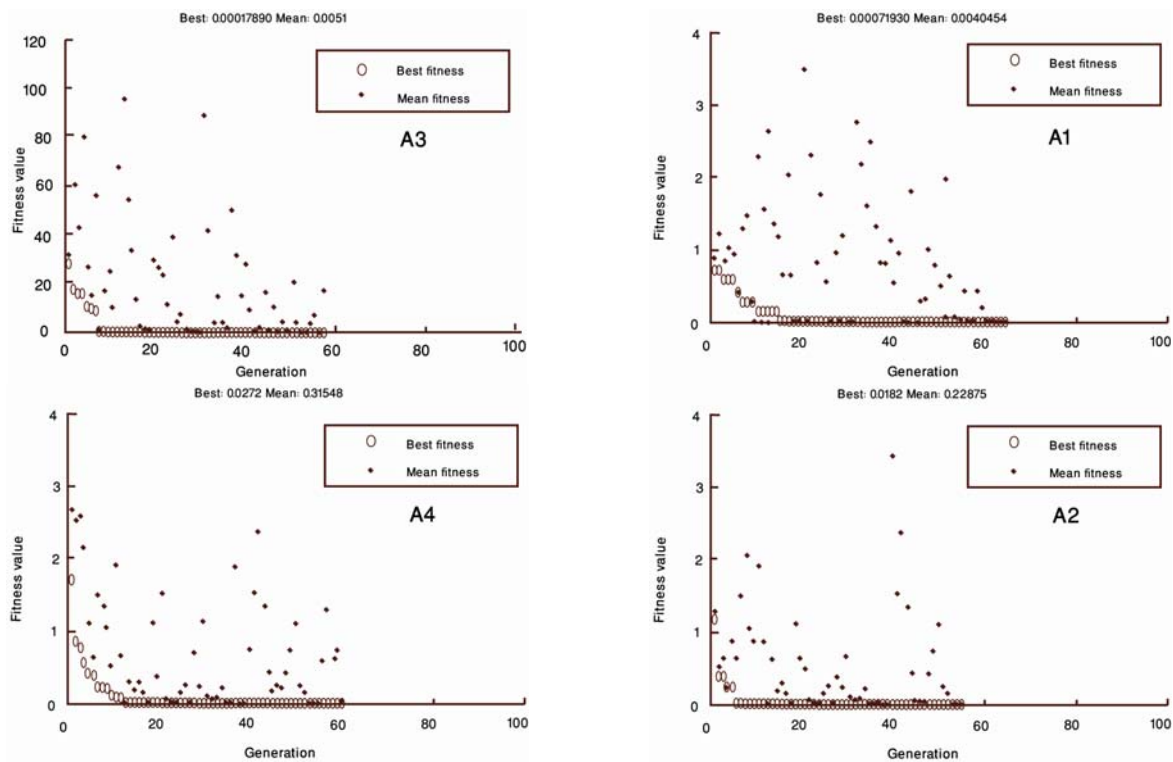
$$R^2 = 1 - \frac{\sum \left(y_i - \hat{y}_i \right)^2}{\sum \left(y_i - \bar{y}_i \right)^2} \quad (15)$$

\hat{y}_i = داده‌های مشاهداتی، \bar{y}_i = داده‌های محاسباتی هستند (Daliakopoulos, 2005).

در شکل (۸) مقایسه بین منحنی زمان- افت صحرایی و منحنی‌های حاصل از پارامترهای تخمین زده شده با GA و روش گرافیکی برای سه مجموعه داده آورده شده است. همانطور که در این شکل مشاهده می‌شود منحنی‌های زمان- افت مربوط به GA نسبت به روش گرافیکی تطابق بیشتری با منحنی‌های زمان- افت مشاهداتی نشان می‌دهند، و دارای R^۲ بهتری هستند. به دلیل اینکه داده‌های استفاده شده، داده‌های تبییک و برگرفته از کتب مرجع می‌باشند، دارای ضریب همبستگی بالایی برای هر دو روش گرافیکی و GA هستند. در این میان مجموعه A_۲ و A_۴ از ضریب همبستگی کمتری برخوردار است، که ارتقای ضریب همبستگی آن نسبت به دیگر



شکل ۸- منحنی زمان - افت مجموعه داده‌های A1، A2، A3 و A4 حاصل از GA و روش گرافیکی



شکل ۹- نمودار تغییرات بهترین جواب و میانگین جوابها در هر نسل، برای مجموعه داده‌های A۱، A۲، A۳ و A۴

پی‌نوشت‌ها

۶- مراجع

- Abbaspour, K. C., van Genuchter, M. T., Schulin, R. and Schlappi, E. (1997), "A sequential uncertainty domain inverse procedure for estimating subsurface flow and transport parameters." *Water Resour. Res.*, 33(8): pp. 1879-1892.
- Adeli, H. and Cheng, N. T. (1993), "Integrated genetic algorithm for optimization of truss structures." *J. aerospac. Eng.*, 6(4), pp. 315-328.
- Ayvaz, T. M. (2007), "Simultaneous determination of aquifer parameters and zone structures with fuzzy c-means clustering and meta-heuristic harmony search algorithm." *Advances in Water Res.*, 30(11), pp. 2326-2338.
- Ayvaz, T. M., Karahan, H. and Aral, M. M. (2007), "Aquifer parameter and zone structure estimation using kernel-based fuzzy c-means clustering and genetic algorithm." *J. Hydrol.*, 343(3-4), pp. 240-253.
- Aziz, A. R. A. and Wong, K.V. (1992), "A neural-network approach to the determination of aquifer parameters." *Ground Water*, 30 (2), pp. 164-166.
- Balkhair, K.S. (2002), "Aquifer parameters determination for large diameter wells using neural network approach." *J. Hydrol.*, 265 (1-4), pp. 118-128.

- 1-Genetic Algorithm
- 2-Inverse Problem
- 3-Artificial Neural Network
- 4-principal Component Analysis
- 5-Fuzzy C-Means
- 6-Harmony Search
- 7-Kernel-based Fuzzy C-Means
- 8-Non-Convex
- 9-Global Minimum
- 10-Taylor Series
- 11-Gauss-Laguerre Quadrature
- 12-Encoding
- 13-Generation
- 14-Fitness
- 15-Offspring
- 16-Elite
- 17-Crossover or Mating
- 18-Mutation
- 19-Selection
- 20-Test Functions
- 21-Sink Function
- 22-Objective Function
- 23-Sum of Square Errors
- 24-Penalty Function
- 25-Bound
- 26-Population size
- 27-Crossover fraction
- 28-Genetic Algorithm Stop Criteria
- 29-Roulette Wheel

- Goldberg, D. E. (1989), *Genetic algorithms in search, optimization and machine learning*, Addison-Wesley Publishing Company, New York.
- Haupt, R. L., Haupt, S.E. (2004), *Practical genetic algorithms*, John Wiley, 253p.
- Kruseman, G. P. and De Ridder, N. A. (1983), *Analysis and evaluation of pumping test data*, ILRT, Wageningen, Netherlands, 200p.
- Lin, G.F. and Chen, G.R. (2006), "An improved neural network approach to the determination of aquifer parameters." *J. Hydrol.*, 316 (1-4), pp. 281–289.
- Mitsuo, G. and Cheng, R. (1997), *Genetic algorithms and engineering design*, John Wiley & Sons, Inc.
- Newman, S.P. (1972), "Theory of flow in unconfined aquifers considering delay response of the water table." *Water Resour. Res.*, 8, pp. 1031-1045.
- Prasad, K. L. and Rastogi, A. K. (2001), "Estimating net aquifer recharge and zonal hydraulic conductivity values for Mahi Right Bank Canal project area, India by genetic algorithm." *J. Hydrol.*, 243, pp. 149– 161.
- Raghunath, H. M. (1987), *Ground water*, Wiley Eastern Limited, 563p.
- Rajasekaran, S. and Vijayalakshmi Pai, G. A. (2005), *Neural networks, fuzzy logic, genetic algorithms*, Prentice-Hall of India, New Delhi, .
- Samani, N., Gohari-Moghadam, M. and Safavi, A. A. (2007), "A simple neural network model for the determination of aquifer parameters." *J. Hydrol.*, 340 (1-2), pp. 1-11.
- Samuel, M. P. (2002), "Determination of aquifer and well parameters using genetic algorithm." *MTech thesis, Indian Institute of Technology*, Kharagpur, India.
- Sun, N.-Z. (1994), *Inverse problems in groundwater modeling*, Kluwer Academic, Dordrecht, the Netherlands.
- Tai Kuoa, J., Yi Wanga, Y. and Seng Lungb, W. (2006), "A hybrid neural–genetic algorithm for reservoir water quality management." *Water Res.*, 40, pp. 1367 –1376.
- Todd, D. K., Mays, L. W. (2005), *Groundwater hydrology*, Wiley, International edition, 636p.
- Tseng, P. H. and Lee, T. C. (1998), "Numerical evaluation of exponential integral: Theis well function approximation." *J. Hydrol.*, 205, pp. 38– 51.
- Batu, V. (1998), *Aquifer hydraulics: a comprehensive guide to hydrogeologic data analysis*, John wiley & sons, inc., 728p.
- Carrera, J. and Neuman, S. P. (1986a), "Estimation of aquifer parameters under transient and steady state conditions: 1. Maximum likelihood method incorporating prior information." *Water Resour. Res.*, 22(2): pp. 199-210.
- Chen, T. Y. and Chen, C. j. (1997), "Improvements of simple genetic algorithm in structural design." *International J. Numerical Meths. in Eng.*, 40, pp. 1323–1334.
- Cheng, A. H. D., Halhal, D., Naji, A. and Ouazar, D. (2000), "Pumping optimization in saltwater-intruded coastal aquifers." *Water Resour. Res.*, 36(8), pp. 2155–2165.
- Cooley, R. L. (1977), "A method of estimating parameters and assessing reliability for models of steady state ground water flow 1. Theory and numerical properties." *Water Resour. Res.*, 13(2): pp. 318-324.
- Dagan, G. and Rubin, Y. (1988), "Stochastic identification of recharge, transmissivity, and storativity in aquifer transient flow: A quasi-steady approach." *Water Resour. Res.*, 24(10): pp. 1698-1710.
- Daliakopoulos, I. N., Coulibaly, P. and Tsanis, I.K. (2005), "Groundwater level forecasting using artificial neural networks." *J. Hydrol.*, 309 (1-4), pp. 229–240.
- Davis, L. (1991), *A handbook of genetic algorithms*, Van Nostrand, Reinhold, New York.
- Freeze, A. R. and Cherry, J. A. (1979), *Groundwater*, Prentice-Hall, Englewood Cliffs, New Jersey, 603p.
- Garcia, L. A. and Shigidi, A. (2006), "Using neural networks for parameter estimation in ground water." *J. Hydrol.*, 318, pp. 215–231.
- Gentry, R. W., Camp, C. V., and Anderson, J. L.(2001). "Use of GA to determine areas of accretion to semiconfined aquifer." *J. Hydraul. Eng.*, 127(9), pp. 738-746.
- Gentry, R. W., Larsen, D. and Ivey, S. (2003), "Efficacy of Genetic Algorithm to investigate Small Scale Aquitard Leakage." *J. Hydraul. Eng.*, Vol. 129, No. 7.
- Giacobbo, F., Marseguerra, M. and Zio, E. (2002), "Solving the inverse problem of parameter estimation by genetic algorithms: the case of a groundwater contaminant transport model." *Annals of Nuclear Energy*, 29 (8), pp. 967-981.

- annealing.” *Advances in Water Res.*, 19(4), pp. 215-224.
- Yeh, W. W. (1986), “Review of parameter identification procedures in groundwater hydrology: The inverse problem.” *Water Resour. Res.*, 22(2): pp. 95-108.
- Theis, C.V. (1935), “The relation between lowering of the piezometric surface and the rate and duration of discharge of a well using groundwater storage.” *Trans. Amer. Geophys. Union*, 2, pp. 519-524.
- Zheng, C. and Wang, P. (1996), “Parameter structure identification using tabu search and simulated

تاریخ دریافت مقاله: ۱۸ بهمن ۱۳۸۵

تاریخ اصلاح مقاله: ۲۰ بهمن ۱۳۸۶

تاریخ پذیرش مقاله: ۱۹ اسفند ۱۳۸۶